#### ОБМЕН ОПЫТОМ

©Коллектив авторов, 2022

#### И.Ю. ТОРШИН<sup>1</sup>, О.А. ГРОМОВА<sup>1</sup>, Н.К. ТЕТРУАШВИЛИ<sup>2</sup>

### ХЕМОТРАНСКРИПТОМНЫЙ АНАЛИЗ СИНЕРГИЗМА D-ХИРОИНОЗИТОЛА И МИОИНОЗИТОЛА В КОНТЕКСТЕ ПОСТГЕНОМНОЙ ФАРМАКОЛОГИИ

<sup>1</sup>Федеральный исследовательский центр «Информатика и управление» Российской академии наук, Институт фармакоинформатики, Москва, Россия

<sup>2</sup>ФГБУ «Национальный медицинский исследовательский центр акушерства, гинекологии и перинатологии имени академика В.И. Кулакова» Минздрава России, Москва, Россия

**Актуальность:** Воздействие миоинозитола (МИ) и D-хироинозитола (ДХИ) на транскрипцию генов исключительно важно для оценки молекулярных механизмов синергизма этих микронутриентов, необходимых для профилактики инсулинорезистентности, проявлений синдрома поликистозных яичников, врожденных аномалий развития и макросомии плода, особенно у беременных с инсулинорезистентностью, дислипидемией, избыточной массой тела.

**Материалы и методы:** В работе представлены результаты хемотранскриптомного исследования эффектов МИ и ДХИ, оценены дозозависимые эффекты воздействия МИ и ДХИ на транскрипцию 12 716 аннотированных генов человека в эндотелиальных клетках пупочной вены человека (линия HUVEC, стимуляция клеток МИ/ДХИ в 6 различных концентрациях в течение 24 ч).

Результаты: Установлено, что МИ вызывал достоверные изменения транскрипции (в среднем более 50% на 10 мкмоль) 6516 генов, так что экспрессия 4085 генов повысилась, а экспрессия 2431 генов снизилась. ДХИ стимулировал изменения транскрипции 6087 генов (экспрессия 4364 генов повысилась, экспрессия 1723 генов снизилась). ДХИ является важным синергистом МИ в 6 функциональных группах генов: (1) обмен жиров, (2) углеводный обмен, (3) функция щитовидной железы, (4) морфогенез, дифференцировка и выживание клеток, (5) нейропротекция и нейротрофичность, (6) структура и функция сосудов. МИ и ДХИ изменяли экспрессию генов, вовлеченных в отклик организма на 49 лекарственных препаратов.

Заключение: Проведенный анализ позволил установить индивидуальный паттерн действия ДХИ и МИ и выделить молекулярные механизмы синергизма этих двух форм инозитолов на уровне транскриптома человека.

**Ключевые слова:** D-хироинозитол, миоинозитол, хемотранскриптомика, машинное обучение, Дикироген.

Вклад авторов: Торшин И.Ю. – сбор и обработка материала, написание текста; Громова О.А. – идея исследования, написание текста; Тетруашвили Н.К. – редактирование текста.

**Конфликт интересов:** Авторы заявляют об отсутствии необходимости раскрытия конфликта интересов в отношении данной публикации.

**Финансирование:** Исследование выполнено за счет гранта Российского Научного Фонда (проект № 20-12-00175), ИГХТУ.

**Обмен исследовательскими данными:** Данные, подтверждающие выводы этого исследования, доступны по запросу у автора, ответственного за переписку, после одобрения ведущим исследователем.

Для цитирования: Торшин И.Ю., Громова О.А., Тетруашвили Н.К. Хемотранскриптомный анализ синергизма D-хироинозитола и миоинозитола в контексте постгеномной фармакологии.

Акушерство и гинекология. 2022; 9: https://dx.doi.org/10.18565/aig.2022.9.

<sup>©</sup>A group of authors, 2022

I.YU. TORSHIN<sup>1</sup>, O.A. GROMOVA<sup>1</sup>, N.K. TETRUASHVILI<sup>2</sup>

# CHEMOTRANSCRIPTOME ANALYSIS OF SYNERGISM BETWEEN D-CHIROINOSITOL AND MYOINOSITOL IN THE CONTEXT OF POSTGENOMIC PHARMACOLOGY

<sup>1</sup>Institute of Pharmacoinformatics, Federal Research Center «Informatics and Management»,
Russian Academy of Sciences, Moscow, Russia
Academician V.I. Kulakov, National Medical Research Centre for Obstetrics, Gynecology and Perin

<sup>2</sup>Academician V.I. Kulakov National Medical Research Centre for Obstetrics, Gynecology and Perinatology, Ministry of Health of Russia, Moscow, Russia

**Background:** The effect of myoinositol (MI) and D-chiroinositol (DCI) on gene transcription is of great importance for assessing the molecular mechanisms of synergism between these micronutrients. Such micronutrients are necessary for the prevention of insulin resistance, manifestations of polycystic ovary syndrome, congenital

malformations and fetal macrosomia, especially in pregnant women with insulin resistance, dyslipidemia, and

Materials and methods: The paper presents the results of a chemotranscriptome analysis of the effects of myoinositol (MI) and D-chiroinositol (DCI). The dose-dependent effects of MI and DCI on the transcription of 12716 annotated human genes in human umbilical vein endothelial cells (HUVEC line, stimulation of cells with MI/DCI at 6 different concentrations for 24 h) were evaluated.

Results: MI was found to cause significant transcription changes (more than 50% per 10 umol on average) of 6516 genes: the expression of 4085 genes increased, and the expression of 2431 genes decreased. DCI is an important MI synergist in six functional groups of genes: (1) fat metabolism, (2) carbohydrate metabolism, (3) thyroid function, (4) morphogenesis, cell differentiation and survival, (5) neuroprotection and neurotrophicity, (6) structure and function of blood vessels. MI and DCI changed the expression of genes involved in the human body's response to 49 drugs.

Conclusion: It was possible to establish an individual pattern of DCI and MI action and to identify the molecular mechanisms of synergism between these two forms of inositol at the level of the human transcriptome. The results of the study suggest a higher efficiency of the combined administration of MI and DCI for the correction of disorders of carbohydrate and fat metabolism in pregnant women and for the prevention of abnormal fetal morphogenesis.

Keywords: D-chiroinositol, myoinositol, chemotranscriptomics, machine learning, Dikirogen.

Authors' contributions: Torshin I.Yu. — collecting and processing the material, writing the text; Gromova O.A. — developing the concept of the study, writing the text; Tetruashvili N.K. — editing the text.

Conflicts of interest: The authors declare that there are no conflicts of interest.

Funding: The research was performed under the grant of the Russian Science Foundation (Project No. 20-12-00175).

Authors' Data Sharing Statement: The data supporting the findings of this study are available on request from the corresponding author after approval from the principal investigator.

> For citation: Torshin I.Yu., Gromova O.A., Tetruashvili N.K. Chemotranscriptome analysis of synergism between D-chiroinositol and myoinositol in the context of postgenomic pharmacology. Akusherstvo i Ginekologiya/Obstetrics and Gynecology. 2022; 9: (in Russian) https://dx.doi.org/10.18565/aig.2022.9.

Профилактика врожденных пороков развития (ВПР) только фолатами не всегда эффективна, так как фолаты – далеко не единственный микронутриент, необходимый для поддержания клеточного гомеостаза [1]. ВПР возникают как результат нарушения процессов размножения, миграции, дифференциации и апоптоза клеток во время роста эмбриона. Инозитолы (витамин В.), в т.ч. миоинозитол (МИ) и D-хироинозитол (ДХИ), оказывают существенное воздействие на функционирование клеток и тканей всего организма посредством участия во внутриклеточной передаче сигнала от рецепторов инсулина, катехоламинов и других нейромедиаторов, факторов роста, в расщеплении жиров и снижении уровня холестерина в крови и др. [2].

МИ и ДХИ также важны для профилактики макросомии плода (масса тела ребенка более 4000 г или превышение 90-го перцентиля по размерам), которая ассоциирована с повышенным риском мертворождения [3]. Факторы риска макросомии включают повышенный уровень глюкозы и триглицеридов в крови матери, ожирение у матери, нарушения менструального цикла, раннее или позднее менархе, ранние потери беременности [4]. Использование комбинации МИ+ДХИ способствует восстановлению овуляторного менструального цикла, повышению качества ооцитов, снижению избыточной массы тела у женщин репродуктивного возраста, профилактике гестационного диабета у беременных [5]. В целом инозитолзависимые белки вовлечены в поддержку функционирования сердечно-сосудистой системы, иммунитета, структуры соединительной ткани, функционирования центральной нервной системы и в процессы роста и развития эмбриона.

МИ и ДХИ отличаются по биологическим свойствам и фармакологическим эффектам. Важным отличием ДХИ от МИ является наличие ДХИ в составе инозитоловых фосфогликанов, опосредующих действие инсулина на клетки. ДХИ более эффективен, чем МИ, в снижении риска фолатрезистентных дефектов нервной трубки [5]. Хемореактомный анализ взаимодействия стереоизомеров инозитола с белками протеома человека указал на различные профили фармакологического действия МИ и ДХИ, включая отличия в воздействии на процессы метаболизма аминокислот с разветвленной цепью, метаболизм фолатов, витаминов РР, В, и магния, активацию рецептора инсулиноподобного фактора роста-1 (ИФР-1), ингибирование провоспалительных эффектов интерлейкина-1 [6].

Однако фармакологические эффекты лекарств и нутрицевтиков зависят не только от воздействия на активность белков протеома, но и от их влияния на процессы транскрипции генов, т.е. на транскриптом (совокупность всех мРНК транскриптов, синтезируемых в ходе экспрессии генома). Транскриптомные исследования важны для расширения понимания временных рамок действия лекарств и нутрицевтиков: ведь воздействие на транскрипцию генов обуславливает более долговременные эффекты веществ (несколько суток) [7].

Хотя транскриптомные исследования молекул in vitro требуют комплекса специального оборудования для анализа экспрессии генов, с использованием новейших методов искусственного интеллекта для анализа «сверхбольших данных» (big data) в Институте фармакоинформатики при ФИЦ ИУ РАН был разработан метод хемотранскриптомного анализа эффектов молекул, основанный на современных методах машинного обучения [8–10].

В настоящей работе представлены результаты хемотранскриптомного исследования дозозависимых эффектов воздействия МИ и ДХИ на транскрипцию 12 716 аннотированных генов человека в эндотелиальных клетках пупочной вены человека (линия HUVEC, стимуляция клеток МИ/ДХИ в 6 различных концентрациях в течение 24 ч). Клетки линии HUVEC – модельная система изучения функции эндотелия, который составляет внутреннюю клеточную выстилку артерий, вен и капилляров и поэтому находится в непосредственном контакте с компонентами и клетками крови. Заметим, что эндотелий является не только барьером между кровью и тканями, но и эндокринным органом. Настоящее исследование позволило установить индивидуальный паттерн транскриптомного действия ДХИ и МИ и выделить молекулярные механизмы синергизма эти двух форм инозитолов.

### Материалы и методы

Исходные данные. Результаты транскриптомных экспериментов (например, в базе данных Gene Expression Omnibus, https://www.ncbi.nlm.nih.gov/ geo/) представлены в виде таблиц, столбцам которых соответствуют гены, а строкам - соответствующие воздействия на клетку (например, те или иные молекулы). Элементами таблицы являются изменения экспрессии гена при соответствующем воздействии. Каждой такой «таблице транскриптомного эксперимента» соответствуют (1) *тип кле*ток, для которых изучались изменения экспрессии, (2) интенсивность воздействия (прежде всего концентрации воздействующих молекул) и (3) время воздействия (6, 12, 24 ч и др.). Изменения экспрессии оцениваются относительно контроля (как правило, диметилсульфоксид).

Метод хемотранскриптомного анализа таких таблиц, основанный на топологической теории хемографов и позволяющий получать высокоточные алгоритмы для оценки изменений транскрипции, был детальнейшим образом описан ранее и протестирован более чем на 1 млн молекул в работах [8—10]. В цикле работ по хемотранскриптомному анализу были описаны все применяемые методики получения и обработки материалов.

**Статистическая значимость** повышения/снижения экспрессии генов оценивалась посредством непараметрических тестов Колмогорова—Смирнова так, что значимым считались значение P < 0.05.

Биоинформационный анализ. В результате применения методологии хемотранскриптомного анализа к конкретной молекуле получается список генов, для которых показано достоверное повышение экспрессии («Список+»), и список генов со сниженной экспрессией («Список-»). К двум полученным спискам генов применяются методы системно-биологического анализа методом функционального связывания. Анализ проводится с использованием аннотации генов в соответствии с международной номенклатурой Gene Ontology (GO), описывающей

физиологические функции генов и соответствующих белков [7].

### Результаты и обсуждение

Действие МИ на эндотелиальные клетки пупочной вены HUVEC было связано с достоверными изменениями транскрипции (более 5% на 1 мкмоль вещества, коэффициент корреляции более 0,40) для 6516 генов: экспрессия 4085 генов повысилась, а 2431 генов — снизилась. Для ДХИ достоверные изменения транскрипции установлены для 6087 генов (экспрессия 4364 генов повысилась, 1723 генов — снизилась).

Транскрипционные эффекты МИ и ДХИ количественно оценивались как доля изменения транскрипции на 1 мкмоль вещества (например, «0,1» соответствует 10% изменению). Совместный анализ этих эффектов для молекул МИ и ДХИ (рис. 1) позволил выделить 6 классов транскриптомного синергизма МИ и ДХИ: (I) гены, экспрессия которых увеличивается под воздействием и МИ, и ДХИ (n=1809), (II) гены, экспрессия которых снижается под воздействием и МИ, и ДХИ (n=626), (III) гены, экспрессию которых ДХИ существенно усиливает по сравнению с МИ (n=2113), (IV) гены, экспрессию которых ДХИ существенно снижает по сравнению с МИ (n=830), (V) гены, снижение экспрессии которых под воздействием МИ нивелирует ДХИ (n=302), (VI) гены, повышение экспрессии которых под воздействием МИ нивелирует ДХИ (n=200).

Собственно синергизм между МИ и ДХИ описывается группами генов в кластерах III-VI, так как гены в кластерах I и II описывают транскрипционные эффекты, общие для МИ и ДХИ. При воздействии обеих молекул достоверно увеличивается экспрессия генов, вовлеченных в активацию дифференцировки клеток, регуляцию секреции инсулина и артериального давления, морфогенез плода, сигнальные пути ряда нейропептидов. Экспрессия была достоверно снижена для генов, белки которых вовлечены в дегрануляцию нейтрофилов, хемотаксис, торможение ангиогенеза, апоптоз нейронов, сплайсинг РНК и репарацию ДНК, метаболизм триглицеридов, торможение трансляции (т.е. синтеза белков). В целом экспрессия генов, участвующих в поддержке сердечно-сосудистой системы, нервной системы, роста и дифференцировки клеток и углеводного метаболизма повышается с возрастанием концентрации МИ и ДХИ (рис. 2).

Интересно отметить, что и МИ, и ДХИ изменяли экспрессию генов, вовлеченных в отклик организма на 49 препаратов; отдельные примеры приведены в таблице 1. МИ/ДХИ повышали экспрессию генов, опосредующих эффекты анксиолитиков, антидепрессантов, седативных средств. Повышение экспрессии соответствующих генов может повышать эффективность терапии этими препаратами на фоне приема МИ/ДХИ.

При рассмотрении синергизма МИ и ДХИ очевидно, что кластеры генов I и II (в которых МИ и ДХИ проявляют сопоставимые эффекты на транскрипцию) могут использоваться в качестве групп

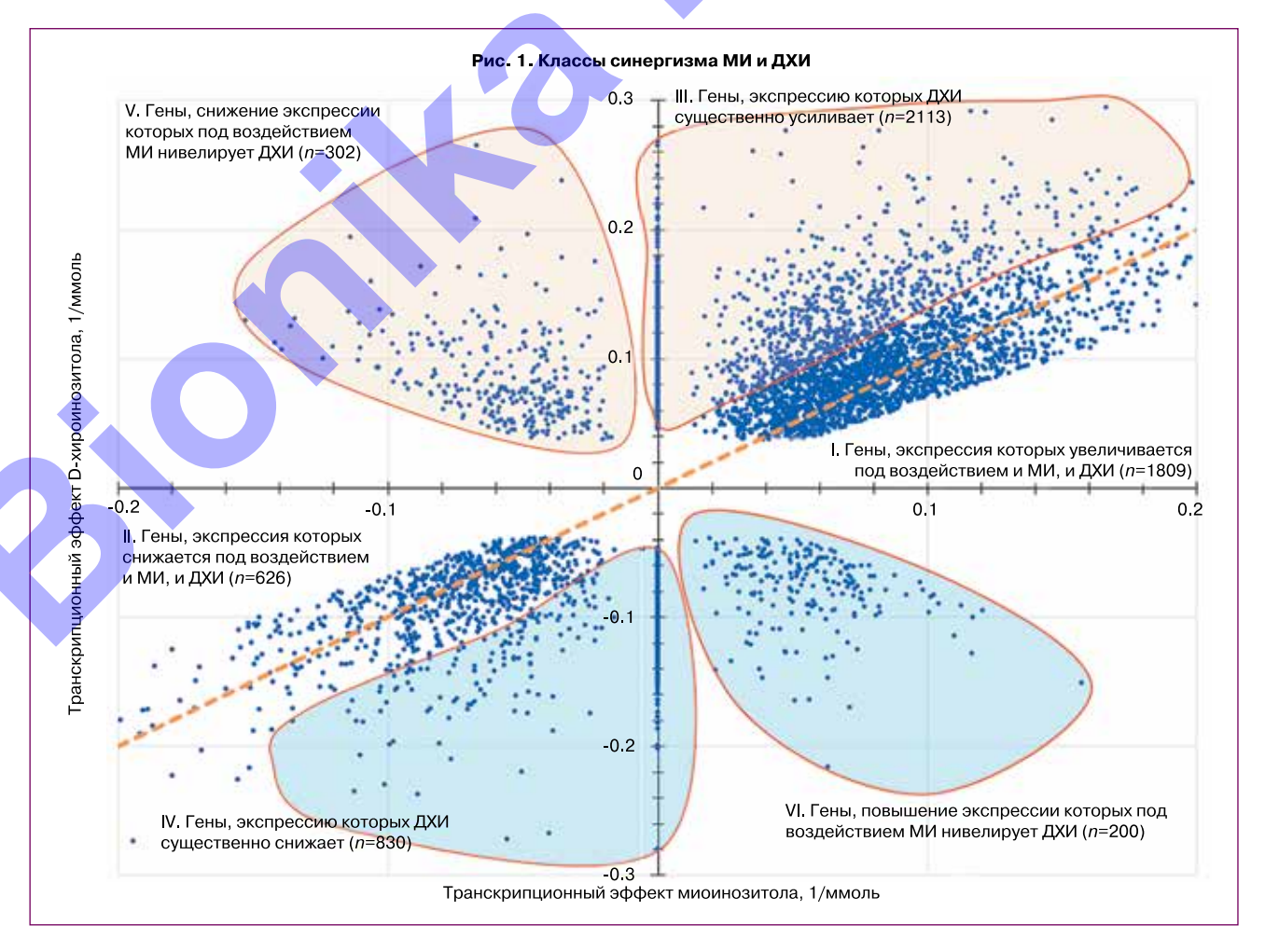
сравнения для кластеров III-VI, что позволяет рассчитать общий балл синергизма для каждой рассматриваемой функциональной категории. Результаты расчетов баллов синергизма для всех анализированных функциональных категорий генов показали, что, несмотря на большое количество рассмотренных функциональных категорий генов (более 1000), только первые 40-50 категорий характеризовались существенно более высокими значениями балла «транскриптомного синергизма» между МИ и ДХИ. К этим «синергидным» категориям относились гены, связанные с морфогенезом (морфогенез костно-мышечной системы, эмбриональный морфогенез конечностей, морфогенез артерий, морфогенез волосяного фолликула, дифференцировка миобластов, регуляция аксоногенеза, пролиферация нейробластов, активность рецептора галанина, регуляция дифференцировки Т-клеток, сигналы mTOR), в т.ч. апоптозом (внутренний апоптотический сигнальный путь медиатора класса р53, негативная регуляция апоптотического сигнального пути), липидным обменом (активность белкапереносчика липидов, синтез липопротеинов высокой плотности, позитивная регуляция этерификации холестерина, бета-окисление жирных кислот с использованием ацил-КоА-дегидрогеназы) и др.

В таблице 2 и на рисунке 3 приведены примеры генов, транскрипция которых регулируется ДХИ в синергизме с МИ. Эти гены относятся к 6 функцио-

нальным группам: обмен жиров, углеводный обмен, работа щитовидной железы, дифференцировка и выживание клеток, нейропротекция и нейротрофичность, структура и функция сосудов. Большинство генов относится к классам синергизма III (гены, экспрессию которых ДХИ существенно усиливает по сравнению с МИ) и V (гены, снижение экспрессии которых под воздействием МИ нивелируется молекулой ДХИ). Далее последовательно рассмотрены отдельные примеры этих генов.

### Транскриптомный синергизм МИ и ДХИ в нормализации жирового обмена

С нуклеотидными дефектами гена АРОЕ ассоциирована гиперлипопротеинемия 3-го типа (характеризующаяся накоплением липопротеинов промежуточной плотности, богатых холестерином, ксантомами, атеросклерозом) [11]. Аполипопротеин С1 (ген АРОС1) ингибирует связывание липопротеинов с рецепторами липопротеинов низкой и очень низкой плотности (ЛПНП и ЛПОНП), связывает свободные жирные кислоты и уменьшает их внутриклеточную этерификацию [12]. Рецептор липопротеинов (ген LSR) осуществляет клиренс липопротеинов, богатых триглицеридами, из крови. Повышение экспрессии генов APOE, APOC1, LSR посредством ДХИ будет способствовать улучшению липидного профиля. ДХИ, по сравнению с МИ, существенно усиливал экспрессию аполипопротеинов Е, С1 и



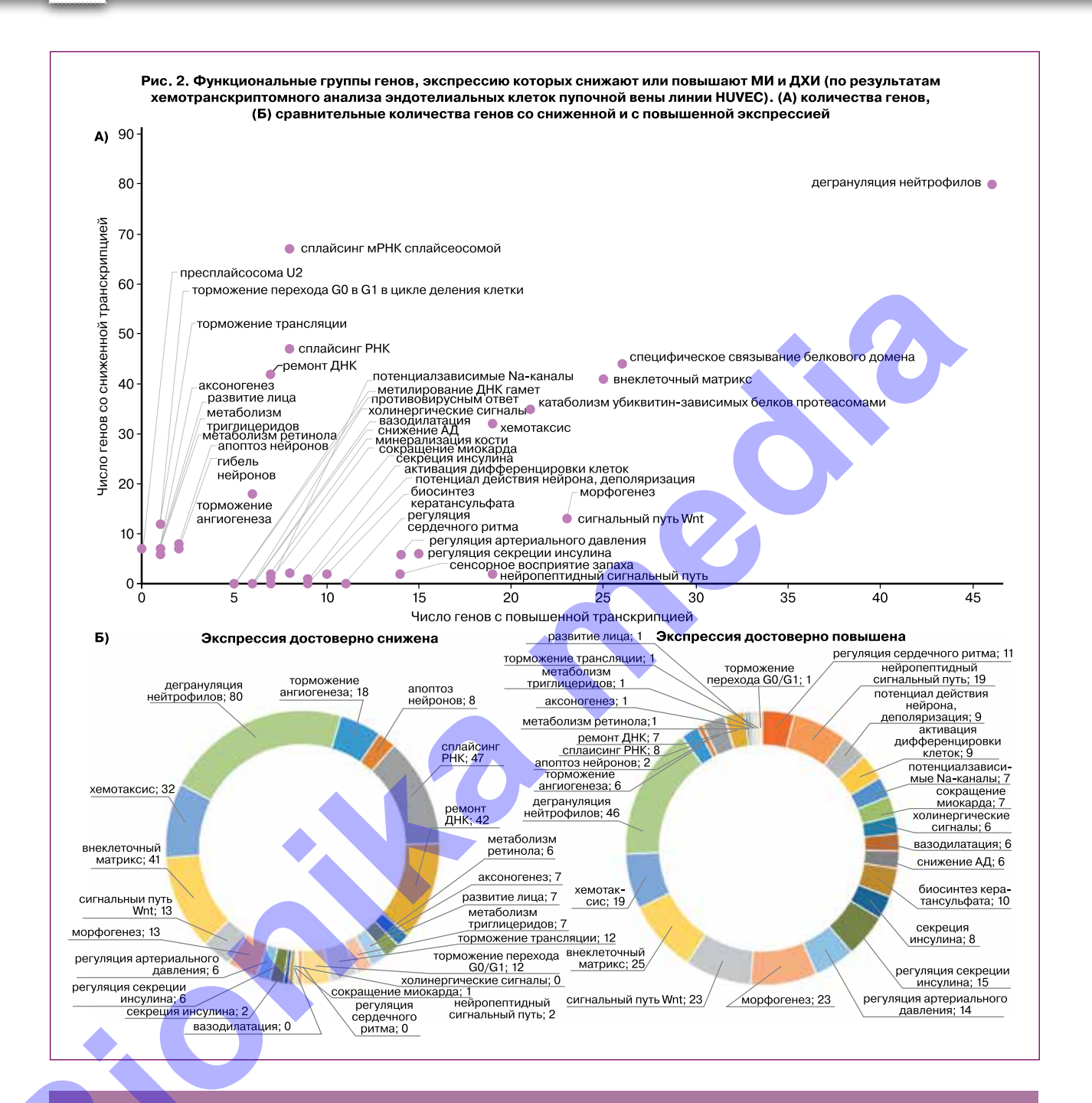


Таблица 1. Воздействие МИ и ДХИ на транскрипцию генов, опосредующих действие различных лекарственных средств

ATX	Примеры лекарств	n+	n-
N05BA Анксиолитики	ГАМК-А агонисты: хлордиазепоксид, диазепам, галазепам, оксазепам, бромазепам	4	1
N06AA Антидепрессанты	Антидофаминный амоксапин, антиадренергический миртазапин, миансерин, имипрамин, амитриптилин, тримипрамин	12	1
N05C Гипнотические и седативные средства	ГАМК-А агонисты: глютетимид, метиприлон, эзопиклон, темазепам, триазолам, нитразепам, талбутал, мидазолам, эстазолам	5	0
N03A Противоэпилептические	Блокаторы альфа-Nа-каналов: зонисамид, топирамат, примидон; ГАМК-А агонисты: клоназепам, метарбитал	10	1
C10A Агенты, модифицирующие обмен липидов	Эзетимиб, розувастатин, питавастатин	1	5
G03C Эстрогены Эстрон		0	5

n+ – число генов с повышенной экспрессией; n- – число генов со сниженной экспрессией. Приведены только значимые различия в числах генов (P<0,05 по критерию Пирсона).

рецептора липопротеинов LSR (класс синергизма III). Аполипопротеин E (ген APOE) опосредует связывание, интернализацию и катаболизм липопротеиновых частиц, является лигандом рецептора ЛПНП и рецептора APOE в тканях печени.

Аполипопротеины A-II (ген APOA2) и C-IV (ген APOC4) стабилизируют структуру ЛПВП и влияют на метаболизм ЛПВП. Липопротеинлипаза (ген LPL) гидролизует триглицериды ЛПНП и ЛПОНП, устраняя их из кровеносного русла. Иначе говоря, именно ДХИ важен для повышения экспрессии генов APOA1, APOA2, APOC4 и LPL.

МИ снижал экспрессию аполипопротеинов A-I, II, C-IV и липопротеинлипазы, а ДХИ нивелировал эти эффекты МИ (класс синергизма V). Аполипопротеин A-I (ген APOAI) участвует в экскреции холестерина, способствуя транспорту холестерина из тканей в печень и выступая в качестве кофактора для лецитин-холестерин-ацилтрансферазы. Нуклеотидные дефекты гена APOAI ассоциированы с преждевременной ишемической болезнью сердца, снижением оттока внутриклеточного холестерина из клеток, периферической невропатией и амилоидной нефропатией [13].

### Транскриптомный синергизм МИ и ДХИ в поддержании углеводного обмена

Имеются данные о позитивном воздействии МИ и ДХИ на обмен жиров и углеводов. Прием МИ и ДХИ (в соотношении 5:1, в составе средства «Дикироген») в течение 180±3 дней пациентками 23—37 лет с нерегулярным менструальным циклом приводил к уменьшению окружности талии, выраженности акне, снизилось количество баллов по шкале Гамильтона и опроснику SF36 [14]. Прием Дикирогена не только способствовал нормализации абнормально длинного менструального цикла, но и сопровождался снижением массы тела (-3 кг), уменьшением окружности талии (-2,5 см), сниже-

нием уровня глюкозы, свободного тестостерона, увеличением уровня фолликулостимулирующего гормона и снижением уровня лютеинизирующего гормона в сыворотке крови [15].

В настоящем исследовании ДХИ, в отличие от МИ, существенно повышал экспрессию ряда генов, влияющих на эффекты инсулина и метаболизм глюкозы (класс синергизма III). Молекула CD38 (кодируемая геном СДЗ8) синтезирует вторичные мессенджерымолекулы (циклическую АДФ-рибозу, никотинатадениндинуклеотидфосфат) для секреции инсулина под воздействием глюкозы. Киназа пируватдегидрогеназы 2 (ген PDK2) регулирует метаболизм глюкозы и жирных кислот и повышение ее экспрессии под воздействием ДХИ, ускоряет цикл Кребса, улучшает клеточные реакции на инсулин, способствуя поддержанию нормального уровня глюкозы в сыворотке крови и предотвращению накопления кетоновых производных [16]. Белок- 5, связывающий инсулиноподобный фактор роста (ИФР) (ген IGFBP5), связывает ИФР и продлевает его период полувыведения. Корецептор рецептора инсулина (ген INSRR) активируется повышением внеклеточного рН, включает сигнальный путь IRS1/АКТ1/РКВ [17]. Описанные эффекты указывают на транскриптомные воздействия ДХИ, существенно дополняющие эффекты МИ на углеводный обмен.

### Транскриптомный синергизм МИ и ДХИ в поддержании функции щитовидной железы

Тиреоидная пероксидаза (ген TPO) йодирует тирозин с образованием гормонов щитовидной железы Т3 и Т4. Йодтиронин дейодиназа-2 (ген DIO2) осуществляет дейодирование Т4 (3,5,3',5'-тетрайодтиронина) в Т3 (3,5,3'-трийодтиронина) и необходима для обеспечения мозга достаточными уровнями Т3 на протяжении всего периода развития плода. Таким образом, ДХИ стимулирует транскрипцию генов, вовлеченных в синтез тиреоидных

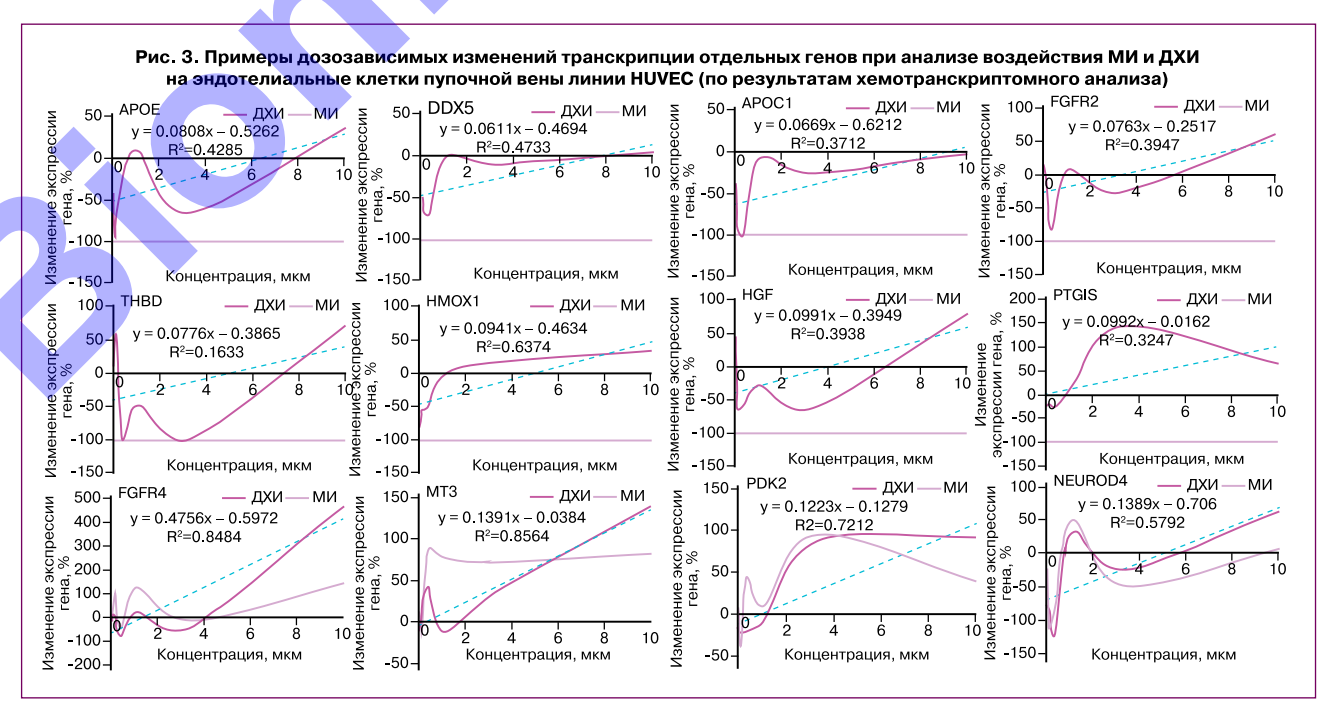


Таблица 2. Примеры генов, транскрипция которых в эндотелиальных клетках пупоч	іной вены
линии HUVEC регулируется ДХИ в синергизме с МИ	

Белок         Функция         MM         ДХИ         КС           APOE         Аполипопротени Е         Метаболиям пипопротеннов         0.000         0.081         III           APOA1         Аполипопротени С-IV         Метаболиям пипопротеннов         -0.059         0.070         V           APOC4         Аполипопротени С-IV         Метаболиям пипопротеннов         -0.072         0.054         0.042         V           DHCR7         7-дегидроколестеропредуктава         Гирокольна обмен         О.000         0.062         V           CD38         Малекула CD38         Синтеа холестерина         0.003         0.051         II           CD38         Малекула CD38         Синтеа холестерина         0.004         0.051         II           FPK2         Киназа видуматарскиро сегазы 2         Регуляция метаболизма пискозы и харики кире         0.000         0.104         0.02         III           INSRR         Короцептор роцентора инсурина         Активация синтавидной кире         0.000         0.122         III           INSRR         Короцептор роцентора инсурина         Активация синтавидной кире инсурина         0.002         0.003         0.125         III           DUOX1         Двойна сказдава         Синтеа тормоном цитемитем инсурина <t< th=""><th colspan="10">линии ночес регулируется дхи в синергизме с ми</th></t<>	линии ночес регулируется дхи в синергизме с ми									
APOE         Аполитопротени Е         Метаболизм липопротеннов         0,000         0,081         III           APOA1         Аполитопротени А-I         Обратный гранспорт холестерона из тканей в печень для жосорым         -0,059         0,070         У           APOC4         Аполитопротени С-IV         Метаболиза липопротеннов         -0,072         0,059         0,070         У           LPL         Липопротеньянияаа         Гъздома тритивирода ЛППП и ППОНП         -0,045         0,462         V           DHCR7         7-дегидрохолестеропредуктаза         Синтез холестерина         0,083         -0,088         VI           Ужемичения первода полувыведеный ИРО         Уклемодина бизопизания прираждения метаболизма глюковы и инфизик коспот         0,063         0,122         III           IGFBP5         Белох 5, связывающий ИФР         Увеличение первода полувыведеный ИРО         0,000         0,122         III           IGFBP5         Белох 5, связывающий ИФР         Увеличение первода полувыведеный ИККТТРКВ         0,000         0,012         III           Работа цитовидной железы         0,063         0,122         III           Работацитовидной железы         0,063         0,123         II           ОУКВ         Мофорования теродова моста добробова моста доброва м	Ген	Белок	Функция	МИ	дхи	KC				
АРОЛ1 Аполипопротеин А-1 Обратный транспорт холествривы из ткажей в печень для въскревнии для въскревния въскревн			Обмен жиров							
ДРОСИ Аполитопротевия С-IV Метаболизи интопротевное -0.072 0.054 V.  LPL Липопротевинляза Пидрому Титем (пред 1 пред 1	APOE	Аполипопротеин Е	Метаболизм липопротеинов	0,000	0,081	III				
LPL         Липопротенилипаза         Гидролиз Триглицеридов ЛПНП и ЛПОНП         -0,045         0,462         ∨           DICR7         7-дегикдрохолостеропредуктава         Синтез АДФ-рибозы для секреции унсулина         0,098         -0,098         ∨           CD38         Молекула CD38         Синтез АДФ-рибозы для секреции унсулина         0,000         0,051         III           PDK2         Кизназа лируватдегидрогеназы 2         Регуляция метаболизма тлюхозы и жирных кислот         0,045         0,122         III           IGFBP Белок 5, сеязывающий ИФР         Увеличение периода полувыведения ИФР         0,000         0,112         III           Работа цитовидной железы           DUOX1         Двойная оксидаза 1         Синтез гормонов цитовидной железы         0,063         0,125         III           DIO2         Йодтигроним дейодиваза         Височитез Тэм та	APOA1	Аполипопротеин A-I		-0,059	0,070	V				
DHCR7         7-дегидрохолостеролредуетава         Синтез холесторина         0,034         -0,099         V           Утлеводный обмен           СОЗВ         Молекула CD38         Синтез АДФ-рибозы для секрещии инсулина         0,000         0,051         III           РОК2         Киваза пируватарегидрогенавы 2         Регуляция метаболизма глюкозы и жирных кислого         0,045         0,122         III           INSRR         Белок 5, связывающий ИФР         Узеличение периода получаведения ИФР         0,000         0,119         II           INSRR         Корещеттор рецептора инсулина         Активация синтального пути IRS (ЛАКТ I/РКВ         0,000         0,124         III           DUOX1         Диойнам оксидаза 1         Синтез гормонов щиховидной желевы         0,063         0,125         III           DOQ2         Лиои прежини дейодинава-2         Емоситета 31 за 14         -0,04         0,66         V           POX5         Аврейи-Ла-Авр полипеттид 5         Дифереренцировка и выживания клеток         0,000         0,001         III           DDX5         Аврейи-Ла-Авр полипеттид 5         Дифереренцировка и мощитов, сегобластов         0,000         0,000         0,000         0,000         0,001         III           RAGPI         Рецентор фактора роста фибробластов 4	APOC4	Аполипопротеин C-IV	Метаболизм липопротеинов	-0,072	0,054	V				
СОЗЗ   Молекула СОЗЗ   Молекула СОЗЗ   Синтез АДФ-рибозы для секреции инсулима   0,000   0,051   II	LPL	Липопротеинлипаза	Гидролиз триглицеридов ЛПНП и ЛПОНП	-0,045	0,462	V				
CD38         Молекула CD38         Синтоз АДФ-рибозы для секреции инсулина.         0,000         0,051         III           PDX2         Киназа пируватдентирогеназы 2         Регуляция метаболизма тлюкозы и жирных кислот.         0,045         0,122         III           IGFBP5         Белок 5, связывающий ИФР         Увеличение периода полувыведения ИФР.         0,000         0,119         III           IMSRR         Корецентор рецентора инсутина.         Активация синтального тути IIS1/AKT I/PKB         0,000         0,124         III           DUOXI         Двойная оксидаза 1         Синтез гормонов щитовидной железы         0,063         0,125         III           DIO2         Йодтиромин дейодиназа-2         Биосинтез 13 из 14         -0,04         0,06         V           TPO         Тиреоидина пероксидаза         Йодирование тирозина с образованием Т3 и Т4         -0,03         0,09         V           DDX5         Арс-Giu-Alia-Asp поливентидь         Дифферефецировка изыкивание ток         0,000         0,061         III           FGFR4         Рецентор фактора роста фибробластов 4         Лиффереренцировка изыкивание ток         0,000         0,076         III           RAD51         Велок репарации ДНК RAD51         Репарация ДНК, митохондрина килолог, всасывание гилокоза         0,102         0,476 </td <td>DHCR7</td> <td>7-дегидрохолестеролредуктаза</td> <td>Синтез холестерина</td> <td>0,034</td> <td>-0,098</td> <td>VI</td>	DHCR7	7-дегидрохолестеролредуктаза	Синтез холестерина	0,034	-0,098	VI				
РРК2         Киназа пируватдегидрогеназы 2         Регуляция метаболизма глюкозы и жирных кислого         0,045         0,122         III           IGRBPS         Белок 5, связывающий ИОР         Увеличение периода полувыведения ИОР         0,000         0,119         III           INSRR         Корецептор решептора инсулина         Активация сиглального пути IRST /AKT1/PKB         0,000         0,124         III           Работа щитовидной железы           DUOX1         Двойная оксидаза         1         Синтаз гормонов щитовидной железы         0,063         0,125         III           DIO2         Йодгиронин дейодиназа-2         5         Биосинтез 13 из Т4         -0,04         0,06         V           PTPO         Тиремини дейодиназа-2         5         Биосинтез 13 из Т4         -0,04         0,06         V           PTPO         Тиремини дейодина пероксидаза         4         Дифеференцировка медительное развитие         0,000         0,061         III           DDX5         Авр-бы-Ма-Авр полителти 5         4         Дифеференцировка медительных испол, всасывание         0,000         0,076         III           FGFR2         Рецептор фактора роста фибробластов 4         Матаболиза минидов, жол-чых испол, всасывание         0,000         0,015         III										
IGFBP5   Белок 5, связывающий ИФР   Увеличение периода полувыведения ИФР   0,000   0,119   III     INSRR   Корецептор рецептора инсулина   Активация сигнального пути IRS1/AKT I/PKB   0,000   0,124   III     PAGOTA щитовидной железы   0,003   0,125   III     DIO21   Двойная оксидаза 1   Синтез тормонов щитовидной железы   0,063   0,125   III     DIO22   Йодтирония дейодиназа-2   Биосинтез ТЗ из Т4   -0,04   0,06   V     Туро   Тиреоидная пероксидаза   Йодирование тирозана с образованием ТЗ и Т4   -0,03   0,09   V     Пифференцировка и выживание клетов   0,000   0,061   III     DDX5   Авр-Git-Alia-Asp полипентид 5   Дифференцировка мисцитов, остеобластов   0,000   0,076   III     FGFR2   Рецептор фактора роста фибробластов 2   Эмбрировальной дакти   0,000   0,076   III     FGFR4   Рецептор фактора роста фибробластов 2   Эмбрировальной ДНК   0,000   0,076   III     RAD51   Белок репарации ДНК RAD51   Репарация ДНК, митохогидивальной ДНК   0,000   0,155   III     AKT1   Протеинкиназа В   Ferynsulus деления и выживания клеток, всасывание   0,000   0,056   III     DYRK1A   Киназа двойной средуфичности   ТА   Ретуляция деления и выживания клеток, всасывание   0,000   0,050   III     DYRK1A   Киназа двойной средуфичности   ТА   Ретуляция деления и выживания клеток, всасывание   0,000   0,050   III     DYRK1A   Киназа двойной средуфичности   ТА   Ретуляция деления и выживания клеток   0,000   0,099   III     L7   Интерпейкин 7   Ретуляция деления и выживания клеток   0,000   0,099   III     L7   Интерпейкин 7   Ретуляция деления и выживания клеток   0,000   0,000   0,000   0,000   III     DYRK1A   Гемоокситеназа 1   Расщепление избыточного геметра клеток   0,000	CD38	Молекула CD38	Синтез АДФ-рибозы для секреции инсулина	0,000	0,051	III				
МОЗКВ   Корецептор рецептора инсулина   Активация сигнального пути IRS1/AKT1/PKB   0,000   0,124   III	PDK2	Киназа пируватдегидрогеназы 2	Регуляция метаболизма глюкозы и жирных кислот	0,045	0,122	III				
Работа щитовидной железы         О.063         0,125         III           DIOX         Двойная окондаза 1         Синтез гормонов шитовидной железы         0,063         0,125         III           DIO2         Йодтиронин дейодиназа-2         Биссинтез Т3 из Т4         -0,04         0,06         V           DX5         Азреби-лан перокодаза         Йодирование гирозина с образованием Т3 и Т4         -0,03         0,09         V           DX5         Азреби-лан перокода         Дифференцировка и выживание клеток           PUS5         Азреби-лан перокода         Дифференцировка и мощитов, селеньки клегот, всасывание при дейтор фактора роста фибробластов 2         Эмбриональное развитие         0,000         0,061         III           FGFR2         Рецентор фактора роста фибробластов 2         Метаболизи минисков, желеньк клегот, всасывание плокозы         0,102         0,476         III           RAD51         Белок репарации ДНК РАD51         Репарация ДНК, митохондриальной ДНК         0,000         0,162         III           АКТ1         Протеннясная в може репарации ДНК РАD51         Репарация ДНК, митохондриальной ДНК         0,000         0,051         III           DYR1A         Актор окситоцина         Дифференцирова ка изариомиоцитов при може дна изариомиоцитов при може дна изариомиоци	IGFBP5	Белок 5, связывающий ИФР	Увеличение периода полувыведения ИФР	0,000	0,119	III				
DUOX1         Двойная оксидаза 1         Синтез гормонов щитовидной железы         0,063         0,125         III           DIO2         Йодгирония дейодиназа-2         Биосинтев Т3 из 14         -0,04         0,06         V           TPO         Тиреоидиная пероксидаза         Йодирование тирозина с образованием Т3 и Т4         -0,03         0,09         V           DDX5         Авр-Giu-Ala-Asp полипептид 5         Дифференцировка и выживание когток         0,000         0,001         0,001         0,001         0,001         0,001         0,001         0,001         0,000         0,076         III           FGFR2         Рецентор фактора роста фибробластов 2         Амбрреовыльное развитие         0,000         0,006         0,007         0,001         0,006         0,007         0,007         0,000         0,076         III           RAD51         Белок репарации ДНК ВАD51         Репарация ДНК, митохондриальной ДНК         0,000         0,155         III           AKT1         Протеинкиназа В         Регуляция деления и выживания клеток, всасывание глокозы         0,000         0,050         0.11           ОХТЯ         Рецептор окситоцина         Дифференцировка каримоноцитов гри имасференцировка каримоноцитов гри имасференцировка каримоноцитов гри имасференцировка каримоноцитовка каримоноцитов гри имасференцировка каримоноцитов гри	INSRR	Корецептор рецептора инсулина	Активация сигнального пути IRS1/AKT1/PKB	0,000	0,124	III				
DIO2         Йодтиронин дейодиназа-2         Биосинтев ТЗ из Т4         -0.04         0.06         V           TPO         Тиреоидная пероксидаза         Йодирование тирозина с образованием ТЗ и Т4         -0.03         0.09         V           Диференцировка и выживание клегок           DDX5         А эр-Glu-Ala-Asp полипетиц 5         Диференцировка и выживание клеготов.         0.000         0.061         III           FGFR2         Рецептор фактора роста фибробластов 2         Эмбриоівльное развитие         0.000         0.076         III           FGFR4         Решептор фактора роста фибробластов 4         Метаболизм липидов, желнных кислот, всасывание глокозы         0.102         0.476         III           RAD51         Белок репарации ДНК RAD51         Репарация ДНК, митохондриальной ДНК         0.000         0.155         III           MKT1         Протеинкиназа В         Регуляция деления и выкивания клеток, всасывание глокозы         0.091         0.162         III           ОХТВ         Рецептор окситоцина         Дифференцировка кардиомиоцитов при мобриональной развитии         0.000         0.000         0.055         III           DYRK1A         Киназа двойной ерецифичности ТА         Ретуляция деления и выживания клеток.         0.000         0.000         0.107         III           HGF<		Pa(	бота щитовидной железы							
TPO         Тиреоидная пероксидаза         Йодирование тирозина с образованием ТЗ и Т4         -0.03         0.09         V           Дифференцировка и выживание клеток         Дифференцировка и выживание клеток         О.000         0.061         III           FGFR2         Рецептор фактора роста фибробластов 2         Дифференцировка и могитора довта фибробластов 4         Метаболизм липидов, желчных кислот, всасывание глюковы         0.000         0.076         III           FGFR4         Рецептор фактора роста фибробластов 4         Метаболизм липидов, желчных кислот, всасывание глюковы         0.102         0.476         III           RAD51         Белок репарации ДНК RAD51         Репарация ДНК, митохондриальной ДНК         0.000         0.155         III           MTHFR         Метилен-4-гидрофолатредуктаза         Ситтез 5-метилтетрагидрофолата         0.091         0.162         III           AKT1         Протеинкиназа В         Регуляция деления и выживания клеток, всасывание глюковы         0.000         0.055         III           ОХТЯ         Рецептор окситоцина         Дифференцировка кардиомиоцитов при эмбриональном развития         0.000         0.050         III           DYRK1A         Киназа двойной елецифичности 14         Ретуляция деления и выживания клеток, всасывание присоког спектра митоков при эмбриональной развития         0.000         0.000         0.070 <td>DUOX1</td> <td>Двойная оксидаза 1</td> <td>Синтез гормонов щитовидной железы</td> <td>0,063</td> <td>0,125</td> <td>III</td>	DUOX1	Двойная оксидаза 1	Синтез гормонов щитовидной железы	0,063	0,125	III				
Дифференцировка и выживание клеток           DDX5         Аяр-Glu-Ala-Asp полипептид 5         Дифференцировка миоцитов, остеобластов 0,000 0,061 III           FGFR2         Рецептор фактора роста фибробластов 2         Эмбриональное развитие 0,000 0,076 III           FGFR4         Рецептор фактора роста фибробластов 4         Метаболизм липидов, желиных кислот, всасывание глюкозы развитие 0,102 0,476 III           RAD51         Белок репарации ДНК RAD51         Репарация ДНК, митохондриальной ДНК 0,000 0,155 III           МТНFR         Метилен-4-гидрофолатредуктаза         Синтез 5-метилтетрагидрофолата 0,091 0,162 III           АКТ1         Протеинкиназа В         Регуляция деления и выживания клеток, всасывание глюкозы глюкозы         0,000 0,050 III           ОХТЯ         Рецептор окситоцина дифференцировск кардиомиоцитов при эмбриональном развития         0,000 0,105 III           ОХТЯ         Рецептор окситоцина дифференцировск кардиомиоцитов при эмбриона и выживания клеток дим и при умероно при умероно при замери и при замери и при умероно при замери и при замери	DIO2	Йодтиронин дейодиназа-2	Биосинтез ТЗ из Т4	-0,04	0,06	V				
DDX5         Asp-Glu-Ala-Asp полипептид 5         Дифференцировка миоцитов, остеобластов         0,000         0,061         III           FGFR2         Рецептор фактора роста фибробластов 2         Эмбриональное развитие         0,000         0,076         III           FGFR4         Рецептор фактора роста фибробластов 4         Метаболизм липидов, желичых кислот, всасывание глюкозы         0,102         0,476         III           RAD51         Белок репарации ДНК RAD51         Репарация ДНК, митохондриальной ДНК         0,000         0,155         III           MTHFR         Метилен-4-гидрофолатредуктаза         Синтаз 5-метилтетрагидрофолата         0,091         0,162         III           AKT1         Протеинкиназа В         Регуляция деления и выживания клеток, всасывание глюкозы         0,000         0,055         III           ОХТВ         Рецептор окситоцина         Дифференцировка кардиомоситов при змбриональном развития         0,000         0,050         III           DYRK1A         Киназа двойной срецифичности ТА         Регуляция деления и выживания клеток, всасывание гликосозы         0,000         0,000         0,105         III           BYRK1A         Киназа двойной срецифичности ТА         Регуляция деления и выживания клеток         0,000         0,000         0,000         0,000         0,000         0,000         0,000	TPO	Тиреоидная пероксидаза	Йодирование тирозина с <mark>обр</mark> азов <mark>ани</mark> ем ТЗ и Т4	-0,03	0,09	V				
FGFR2         Рецептор фактора роста фибробластов 2         Эмбриональное развитие         0,000         0,076         III           FGFR4         Рецептор фактора роста фибробластов 4         Метаболизм липидов, желиных кислот, всасывание глюкозы         0,102         0,476         III           RAD51         Белок репарации ДНК RAD51         Репарация ДНК, митохондриальной ДНК         0,000         0,155         III           MTHFR         Метилен-4-гидрофолатредуктаза         Синтез 5-метилтетрагидрофолата         0,091         0.162         III           AKT1         Протеинкиназа В         Регуляция деления и выживания клеток, всасывание глюкозы         0,000         0,050         0,000         0,050         III           DXTR         Рецептор окситоцина         Дифференцировка кардиомиоцитов при эмбриональном развитии         0,000         0,000         0,050         III           DYRK1A         Киназа двойной срецифичности ТА         Ретуляция деления и выживания клеток         0,000         0,000         0,105         III           HGF         Фактор роста гепатоцитов (гепапоэтин А)         Фактор роста гепатоцитов и широкого спектра клеток         0,000         0,000         0,000         0,000         0,009         III           HGF         Фактор роста гепатоцитов и широкого спектра клеток (клеток клеток клеток клеток (клеток клеток клеток клеток кл		Диффер	енцировка и выживание клеток							
FGFR4         Рецептор фактора роста фибробластов 4         Метаболизм липидов, желчных кислот, всасывание глюковы         0,102         0,476         III           RAD51         Белок репаращии ДНК RAD51         Репарация ДНК, митохондриальной ДНК         0,000         0,155         III           MTHER         Метилен-4-гидрофолатредуктаза         Синтез 5-метилтетрагидрофолата         0,091         0,162         III           AKT1         Протеинкиназа В         Регуляция деления и выживания клеток, всасывание глюковы         0,000         0,050         III           ОХТВ         Рецептор окситоцина         Дифференцировак акрдиомиоцитов при эмбриональном развитии         0,000         0,050         III           DYRK1A         Киназа двойной специфичности 1A         Регуляция деления и выживания клеток         0,000         0,105         III           HGF         Фактор роста гепатоцитов (тепапозтин A)         Фактор роста гепатоцитов и широкого спектра клеток         0,000         0,000         0,009         III           IL7         Интерлейкин 7         Гемопозтический фактор роста         0,099         0,182         III           HMOX1         Гемоокситеназа         Расшепление избъточного гема, цитопротекция         0,000         0,072         III           BISC1         Нарушентър галанина         Рещептор галанина	DDX5	Asp-Glu-Ala-Asp полипептид 5	Дифференцировка миоцитов, остеобластов	0,000	0,061	III				
Ведентор фактора роста фиорооластов 4   глюкозы   глокозы   гло	FGFR2	Рецептор фактора роста фибробластов 2	Эмбриональное развитие	0,000	0,076	III				
МТНFR         Метилен-4-гидрофолатредуктаза         Синтез 5-метилтетрагидрофолата         0,091         0.162         III           AKT1         Протеинкиназа В         Регуляция деления и выживания клеток, всасывание глюкозы         0,000         0,050         III           ОХТЯ         Рецептор окситоцина         Дифференцировка кардиомиюцитов при эмбриональном развитии         0,000         0,105         III           DYRKIA         Киназа двойной слещфичности ТА         Регуляция деления и выживания клеток         0,000         0,107         III           HGF         Фактор роста гепатоцитов (гепапоэтин А)         Фактор роста гепатоцитов и широкого спектра клеток         0,000         0,099         III           LT         Интерлейкин 7         Гемопоэтический фактор роста         0,000         0,094         III           HMOX1         Гемооксигеназа 1         Расщепление избыточного гема, цитопототекция         0,000         0,094         III           DISC1         Нарушенный при шизофрении 1         Нейрогрофичность         Нейрогрофичность         0,000         0,072         III           GALR2         Рецептор галанина 2         Рецептор галанина 2         0,000         0,050         III           FZD9         Рецептор растацина 2         Формирование нервно- мышеных синапсов, гиплокампа         0,087	FGFR4	Рецептор фактора роста фибробластов 4		0,102	0,476	III				
AKT1         Протеинкиназа В         Регуляция деления и выживания клеток, всасывание глюкозы         0,000         0,050         III           ОХТВ         Рецептор окситоцина         Дифференцировка кардиомиоцитов при змбриональном развитии         0,000         0,105         III           DYRK1A         Киназа двойной специфичности 1A         Регуляция деления и выживания клеток         0,000         0,107         III           HGF         Фактор роста гепатоцитов (гепапоэтин A)         Фактор роста епатоцитов и широкого спектра клеток         0,000         0,099         III           IL7         Интерлейкин 7         Гемопоэтический фактор роста         0,099         0,182         III           HMOX1         Гемооксигеназа 1         Расщепление избыточного гема, цитопортекция         0,000         0,094         III           DISC1         Нарушенный при шизофрении 1         Нейрогрофичность         Нейрогрофичность         0,000         0,072         III           GALR2         Рецептор галанина 2         Рецептор галанина 0,000         0,050         III           GAL         Галанин пропептид         Высвобождение гормона роста и инсулина, нейропротекция         0,087         0,158         III           FZD9         Рецептор ГАМК-А, бета 2         Рецептор КМК, диазепина с изклиналов         0,07         0,166	RAD51	Белок репарации ДНК RAD51	Репарация ДНК, митохондриальной ДНК	0,000	0,155	III				
ОХТЯ         Рецептор окситоцина         Дифференцировка адриомиоцитов при эмбриональном развитии         0,000         0,050         III           DYRК1A         Киназа двойной слецифичности 1A         Регуляция деления и выживания клеток         0,000         0,107         III           HGF         фактор роста гепатоцитов (гепапоэтин A)         Фактор роста гепатоцитов и широкого спектра клеток         0,000         0,099         III           IL7         Интерлейкин 7         Гемопоэтический фактор роста         0,099         0,182         III           HMOX1         Гемооксигеназа 1         Расщепление избыточного гема, цитопротекция         0,000         0,094         III           НЕФОРОТОВНИЯ В ВОВСЕВИЕМ В ВОВСЕВЕТОВ В ВОВСЕВ	MTHFR	Метилен-4-гидрофолатредуктаза	Синтез 5-метилтетрагидрофолата	0,091	0.162	III				
DYRK1A         Киназа двойной специфичности 1А         Регуляция деления и выживания клеток         0,000         0,103         III           HGF         Фактор роста гепатоцитов (гепапоэтин A)         Фактор роста гепатоцитов и широкого спектра клеток         0,000         0,099         III           IL7         Интерлейкин 7         Гемопоэтический фактор роста         0,099         0,182         III           HMOX1         Гемооксигеназа 1         Расщепление избыточного гема, цитопротекция         0,000         0,094         III           НЕФромоксигеназа 1         Расщепление избыточного гема, цитопротекция         0,000         0,094         III           НЕФромоксигеназа 1         Расщепление избыточного гема, цитопротекция         0,000         0,094         III           НЕФромоксигеназа 1         Расщептор гемение избыточного гема, цитопротекция         0,000         0,072         III           НЕФромоксигеназа 1         Рецептор гемение и нейрогрофина и у взрослых в гиппокампе         0,000         0,072         III           БЫСВО Обезареживание термони а у взрослых в гиппокампе         0,000         0,078         III           РЕцептор FZD9         Формирование нервно-мышечных синалосов, гиппокампе         0,087         0,158         III           МЕТОРОВ О	AKT1	Протеинкиназа В		0,000	0,050	III				
HGF         Фактор роста гепатоцитов (гепапоэтин A)         Фактор роста гепатоцитов и широкого спектра клеток         0,000         0,099         III           IL7         Интерлейкин 7         Гемопоэтический фактор роста         0,099         0,182         III           HMOX1         Гемооксигеназа 1         Расщепление избыточного гема, цитопротекция         0,000         0,094         III           DISC1         Нарушенный при шизофрении 1         Нейропротекция и нейротрофичность         0,000         0,072         III           GALR2         Рецептор галанина 2         Рецептор галанина         0,000         0,050         III           GAL         Галанин пропептид         Высвобождение гормона роста и инсулина, нейропротекция         0,000         0,178         III           FZD9         Рецептор FZD9         Формирование нервно-мышечных синапсов, гиппокампа         0,087         0,158         III           GABRB2         Рецептор ГАМК-А, бета 2         Рецептор ГАМК, диазепинов         0,107         0,166         III           MT3         Металлотионеин 3         Обезвреживание тяжелых металлов         0,051         0,139         III           NGFR         Рецептор фактора роста нервов         Рецептор, активируемый нейротрофинами NGF, BDNF, NT-3 и NT-4         -0,082         0,088         V <td>OXTR</td> <td>Рецептор окситоцина</td> <td></td> <td>0,000</td> <td>0,105</td> <td>Ш</td>	OXTR	Рецептор окситоцина		0,000	0,105	Ш				
IL7	DYRK1A	Киназа двойной специфичности 1А	Регуляция деления и выживания клеток	0,000	0,107	III				
НМОХ1         Гемооксигеназа 1         Расщепление избыточного гема, цитопротекция         0,000         0,094         III           Нейропротекция и нейротрофичность           DISC1         Нарушенный при шизофрении 1         Нейрогенез эмбриона и у взрослых в гиппокампе         0,000         0,072         III           GALR2         Рецептор галанина 2         Рецептор галанина         0,000         0,050         III           GAL         Галанин пропептид         Высвобождение гормона роста и инсулина, нейропротекция         0,000         0,178         III           FZD9         Рецептор FZD9         Формирование нервно-мышечных синапсов, гиппокампа         0,087         0,158         III           GABRB2         Рецептор ГАМК-А, бета 2         Рецептор ГАМК, диазепинов         0,107         0,166         III           MT3         Металлотионеин 3         Обезвреживание тяжелых металлов         0,051         0,139         III           NGFR         Рецептор фактора роста нервов         Рецептор, активируемый нейротрофинами NGF, BDNF, NT-3 и NT-4         -0,082         0,088         V           Структура и функция сосудов           PTGIS         Простагландин I2 синтаза         Синтез простациклина         0,000         0,099         III           P	HGF	Фактор роста гепатоцитов (гепапоэтин А)	Фактор роста гепатоцитов и широкого спектра клеток	0,000	0,099	III				
Нейропротекция и нейротрофичность           DISC1         Нарушенный при шизофрении 1         Нейрогенез эмбриона и у взрослых в гиппокампе         0,000         0,072         III           GALR2         Рецептор галанина 2         Рецептор галанина         0,000         0,050         III           GAL         Галанин пропептид         Высвобождение гормона роста и инсулина, нейропротекция         0,000         0,178         III           FZD9         Рецептор FZD9         Формирование нервно-мышечных синапсов, гиппокампа         0,087         0,158         III           GABRB2         Рецептор ГАМК-А, бета 2         Рецептор ГАМК, диазепинов         0,107         0,166         III           MT3         Металлотионеин 3         Обезвреживание тяжелых металлов         0,051         0,139         III           NGFB         Рецептор фактора роста нервов         Рецептор, активируемый нейротрофинами NGF, BDNF, NT-3 и NT-4         -0,082         0,088         V           Структура и функция сосудов           РТGIS         Простагландин I2 синтаза         Синтез простациклина         0,000         0,099         III           PLG         Плазминоген         Растворение фибрина тромбов, эмбриональное развитие         0,096         0,178         III           THBD         Тромбомодулин	IL7	Интерлейкин 7	Гемопоэтический фактор роста	0,099	0,182	III				
DISC1         Нарушенный при шизофрении 1         Нейрогенез эмбриона и у взрослых в гиппокампе         0,000         0,072         III           GALR2         Рецептор галанина 2         Рецептор галанина         0,000         0,050         III           GAL         Галанин пропептид         Высвобождение гормона роста и инсулина, нейропротекция         0,000         0,178         III           FZD9         Рецептор FZD9         Формирование нервно-мышечных синапсов, гиппокампа         0,087         0,158         III           GABRB2         Рецептор ГАМК-А, бета 2         Рецептор ГАМК, диазепинов         0,107         0,166         III           MT3         Металлотионеин 3         Обезвреживание тяжелых металлов         0,051         0,139         III           NGFR         Рецептор фактора роста нервов         Рецептор, активируемый нейротрофинами NGF, BDNF, NT-3 и NT-4         -0,082         0,088         V           Структура и функция сосудов           РТGIS         Простагландин I2 синтаза         Синтез простациклина         0,000         0,099         III           PLG         Плазминоген         Растворение фибрина тромбов, эмбриональное развитие         0,096         0,178         III           THBD         Тромбомодулин         Расщепление прокоагулянтных факторов Va и VIIIa <td< td=""><td>HMOX1</td><td>Гемооксигеназа 1</td><td>Расщепление избыточного гема, цитопротекция</td><td>0,000</td><td>0,094</td><td>III</td></td<>	HMOX1	Гемооксигеназа 1	Расщепление избыточного гема, цитопротекция	0,000	0,094	III				
GALR2         Рецептор галанина 2         Рецептор галанина         0,000         0,050         III           GAL         Галанин пропептид         Высвобождение гормона роста и инсулина, нейропротекция         0,000         0,178         III           FZD9         Рецептор FZD9         Формирование нервно-мышечных синапсов, гиппокампа         0,087         0,158         III           GABRB2         Рецептор ГАМК-А, бета 2         Рецептор ГАМК, диазепинов         0,107         0,166         III           MT3         Металлотионеин 3         Обезвреживание тяжелых металлов         0,051         0,139         III           NGFR         Рецептор фактора роста нервов         Рецептор, активируемый нейротрофинами NGF, BDNF, NT-3 и NT-4         -0,082         0,088         V           Структура и функция сосудов           PTGIS         Простагландин I2 синтаза         Синтез простациклина         0,000         0,099         III           PLG         Плазминоген         Растворение фибрина тромбов, эмбриональное развитие         0,096         0,178         III           THBD         Тромбомодулин         Расщепление прокоагулянтных факторов Va и VIIIa         0,000         0,078         III           HAMP         Гепсидин         Гормон-регулятор поступления железа в ткани         0,000 <th< td=""><td></td><td>Нейропр</td><td>оотекция и нейротрофичность</td><td></td><td></td><td></td></th<>		Нейропр	оотекция и нейротрофичность							
GAL         Галанин пропептид         Высвобождение гормона роста и инсулина, нейропротекция         0,000         0,178         III           FZD9         Рецептор FZD9         Формирование нервно-мышечных синапсов, гиппокампа         0,087         0,158         III           GABRB2         Рецептор ГАМК-А, бета 2         Рецептор ГАМК, диазепинов         0,107         0,166         III           MT3         Металлотионеин 3         Обезвреживание тяжелых металлов         0,051         0,139         III           NGFR         Рецептор фактора роста нервов         Рецептор, активируемый нейротрофинами NGF, BDNF, NT-3 и NT-4         -0,082         0,088         V           Структура и функция сосудов           PTGIS         Простагландин I2 синтаза         Синтез простациклина         0,000         0,099         III           PLG         Плазминоген         Растворение фибрина тромбов, эмбриональное развитие         0,096         0,178         III           THBD         Тромбомодулин         Расщепление прокоагулянтных факторов Va и VIIIa         0,000         0,078         III           HAMP         Гепсидин         Гормон-регулятор поступления железа в ткани         0,000         -0,104         IV           S 100A8         Белок S 100A8, связывающий кальций         Воспаление, активирует толл-рецепторы, а	DISC1	Нарушенный при шизофрении 1	Нейрогенез эмбриона и у взрослых в гиппокампе	0,000	0,072	III				
FZD9         Рецептор FZD9         Формирование нервно-мышечных синапсов, гиппокампа         0,000         0,178         III           GABRB2         Рецептор ГАМК-А, бета 2         Рецептор ГАМК, диазепинов         0,107         0,166         III           MT3         Металлотионеин 3         Обезвреживание тяжелых металлов         0,051         0,139         III           NGFR         Рецептор фактора роста нервов         Рецептор, активируемый нейротрофинами NGF, BDNF, NT-3 и NT-4         -0,082         0,088         V           Структура и функция сосудов           РТGIS         Простагландин I2 синтаза         Синтез простациклина         0,000         0,099         III           PLG         Плазминоген         Растворение фибрина тромбов, эмбриональное развитие         0,096         0,178         III           THBD         Тромбомодулин         Расщепление прокоагулянтных факторов Va и VIIIa         0,000         0,078         III           HAMP         Гепсидин         Гормон-регулятор поступления железа в ткани         0,000         -0,104         IV           S100A8         Белок S100A8, связывающий кальций         Воспаление, активирует толл-рецепторы, апоптоз         0,065         -0,073         VI	GALR2	Рецептор галанина 2	Рецептор галанина	0,000	0,050	III				
F2D9         гиппокампа         0,087         0,158         III           GABRB2         Рецептор ГАМК-А, бета 2         Рецептор ГАМК, диазепинов         0,107         0,166         III           MT3         Металлотионеин 3         Обезвреживание тяжелых металлов         0,051         0,139         III           NGFR         Рецептор фактора роста нервов         Рецептор, активируемый нейротрофинами NGF, BDNF, NT-3 и NT-4         -0,082         0,088         V           Структура и функция сосудов           PTGIS         Простагландин I2 синтаза         Синтез простациклина         0,000         0,099         III           PLG         Плазминоген         Растворение фибрина тромбов, эмбриональное развитие         0,096         0,178         III           THBD         Тромбомодулин         Расщепление прокоагулянтных факторов Va и VIIIa         0,000         0,078         III           HAMP         Гепсидин         Гормон-регулятор поступления железа в ткани         0,000         -0,104         IV           S100A8         Белок S100A8, связывающий кальций         Воспаление, активирует толл-рецепторы, апоптоз         0,065         -0,073         VI	GAL	Галанин пропептид		0,000	0,178	III				
МТЗ         Металлотионеин 3         Обезвреживание тяжелых металлов         0,051         0,139         III           NGFR         Рецептор фактора роста нервов         Рецептор, активируемый нейротрофинами NGF, BDNF, NT-3 и NT-4         -0,082         0,088         V           Структура и функция сосудов           PTGIS         Простагландин I2 синтаза         Синтез простациклина         0,000         0,099         III           PLG         Плазминоген         Растворение фибрина тромбов, эмбриональное развитие         0,096         0,178         III           THBD         Тромбомодулин         Расщепление прокоагулянтных факторов Va и VIIIa         0,000         0,078         III           HAMP         Гепсидин         Гормон-регулятор поступления железа в ткани         0,000         -0,104         IV           S100A8         Белок S100A8, связывающий кальций         Воспаление, активирует толл-рецепторы, апоптоз         0,065         -0,073         VI	FZD9	Рецептор FZD9		0,087	0,158	III				
NGFR         Рецептор фактора роста нервов         Рецептор, активируемый нейротрофинами NGF, BDNF, NT-3 и NT-4         -0,082         0,088         V           Структура и функция сосудов           PTGIS         Простагландин I2 синтаза         Синтез простациклина         0,000         0,099         III           PLG         Плазминоген         Растворение фибрина тромбов, эмбриональное развитие         0,096         0,178         III           THBD         Тромбомодулин         Расщепление прокоагулянтных факторов Va и VIIIa         0,000         0,078         III           HAMP         Гепсидин         Гормон-регулятор поступления железа в ткани         0,000         -0,104         IV           S100A8         Белок S100A8, связывающий кальций         Воспаление, активирует толл-рецепторы, апоптоз         0,065         -0,073         VI	GABRB2	Рецептор ГАМК-А, бета 2	Рецептор ГАМК, диазепинов	0,107	0,166	Ш				
Рецентор фактора роста нервов         BDNF, NT-3 и NT-4         -0,082         0,088         V           Структура и функция сосудов           PTGIS         Простагландин I2 синтаза         Синтез простациклина         0,000         0,099         III           PLG         Плазминоген         Растворение фибрина тромбов, эмбриональное развитие         0,096         0,178         III           THBD         Тромбомодулин         Расщепление прокоагулянтных факторов Va и VIIIa         0,000         0,078         III           НАМР         Гепсидин         Гормон-регулятор поступления железа в ткани         0,000         -0,104         IV           S100A8         Белок S100A8, связывающий кальций         Воспаление, активирует толл-рецепторы, апоптоз         0,065         -0,073         VI	МТ3	Металлотионеин 3	Обезвреживание тяжелых металлов	0,051	0,139	III				
PTGIS         Простагландин I2 синтаза         Синтез простациклина         0,000         0,099         III           PLG         Плазминоген         Растворение фибрина тромбов, эмбриональное развитие         0,096         0,178         III           THBD         Тромбомодулин         Расщепление прокоагулянтных факторов Va и VIIIa         0,000         0,078         III           HAMP         Гепсидин         Гормон-регулятор поступления железа в ткани         0,000         -0,104         IV           S100A8         Белок S100A8, связывающий кальций         Воспаление, активирует толл-рецепторы, апоптоз         0,065         -0,073         VI	NGFR	Рецептор фактора роста нервов		-0,082	0,088	V				
PLG         Плазминоген         Растворение фибрина тромбов, эмбриональное развитие         0,096         0,178         III           THBD         Тромбомодулин         Расщепление прокоагулянтных факторов Va и VIIIa         0,000         0,078         III           HAMP         Гепсидин         Гормон-регулятор поступления железа в ткани         0,000         -0,104         IV           S100A8         Белок S100A8, связывающий кальций         Воспаление, активирует толл-рецепторы, апоптоз         0,065         -0,073         VI		Стр	уктура и функция сосудов							
РЕG         Плазминоген         развитие         0,096         0,178         III           ТНВО         Тромбомодулин         Расщепление прокоагулянтных факторов Va и VIIIa         0,000         0,078         III           НАМР         Гепсидин         Гормон-регулятор поступления железа в ткани         0,000         -0,104         IV           S100А8         Белок S100А8, связывающий кальций         Воспаление, активирует толл-рецепторы, апоптоз         0,065         -0,073         VI	PTGIS	Простагландин I2 синтаза	Синтез простациклина	0,000	0,099	III				
НАМР         Гепсидин         Гормон-регулятор поступления железа в ткани         0,000         -0,104         IV           S100A8         Белок S100A8, связывающий кальций         Воспаление, активирует толл-рецепторы, апоптоз         0,065         -0,073         VI	PLG	Плазминоген		0,096	0,178	III				
S100A8         Белок S100A8, связывающий кальций         Воспаление, активирует толл-рецепторы, апоптоз         0,065         -0,073         VI	THBD	Тромбомодулин	Расщепление прокоагулянтных факторов Va и VIIIa	0,000	0,078	III				
	HAMP	Гепсидин	Гормон-регулятор поступления железа в ткани	0,000	-0,104	IV				
EDN1         Эндотелин 1         Вазоконстрикция         0,075         -0,09         VI	S100A8	Белок S100A8, связывающий кальций	Воспаление, активирует толл-рецепторы, апоптоз	0,065	-0,073	VI				
	EDN1	Эндотелин 1	Вазоконстрикция	0,075	-0,09	VI				

В колонках «МИ» и «ДХИ» приведены значения долей изменения транскрипции на 1 мкмоль вещества. КС – класс синергизма (кластеры III–VI). гормонов. ДХИ существенно усиливал экспрессию *двойной оксидазы 1* (ген *DUOX1*), необходимой для активности тиреопероксидазы, участвующей в синтезе гормонов щитовидной железы [18]. ДХИ нивелировал снижение экспрессии генов *TPO* и *DIO2*, происходящее под воздействием МИ (класс V синергизма).

### Транскриптомный синергизм МИ и ДХИ в процессах дифференцировки и выживания клеток

Практически все гены в этой группе (табл. 2) относились к классу синергизма III (гены, экспрессию которых ДХИ существенно усиливает по сравнению с МИ). ДХИ способствует повышению экспрессии генов, кодирующих рецепторы факторов роста фибробластов (ФРФ). Рецептор-2  $\Phi P\Phi$  (ген FGFR2) регулирует деление, дифференцировку, миграцию и апоптоз клеток, необходим для нормального формирования эмбриона, функции трофобласта, развития зачатков конечностей, морфогенеза легких, костей и кожи [19]. С нуклеотидными дефектами гена FGFR2 ассоциирован синдром Крузона. Рецептор-4  $\Phi P\Phi$  (ген FGFR4) регулирует деление, дифференцировку, миграцию клеток, метаболизм липидов, биосинтез желчных кислот, всасывание глюкозы, метаболизм витамина D и фосфатов через сигнальные пути RAS, MAPK1/ERK2, MAPK3/ERK1, AKT1 [20]. ДХИ также нивелировал снижение экспрессии рецептора  $\Phi P\Phi$ -1 (ген *FGFR1*), необходимого для нормального формирования мезодермального паттерна и правильной осевой организации, скелетогенеза и нейрогенеза во время эмбрионального развития, секреции гонадотропин-рилизинг-гормона через участие в сигнальных каскадах GRB2, PIK3R1, RAS, MAPK1/ERK2, MAPK3/ERK1, AKT1, CREB1 [21].

ДХИ позитивно влиял на экспрессию и других генов, участвующих в гомеостазе ростовых факторов: HGF, IL7, OXTR. ДХИ (но не МИ), повышал экспрессию фактора роста гепатоцитов (гепапоэтин A, ген HGF) — митогена зрелых гепатоцитов и ряда других типов клеток [22]. С нуклеотидными дефектами гена *HGF* ассоциирована прелингвальная нейросенсорная тугоухость-9. Интерлейкин-7 (ген IL7) – гемопоэтический фактор роста, стимулирующий деление лимфоидных клеток-предшественников и созревание В-клеток. Окситоциновый рецептор (ген ОХТК) осуществляет эффекты окситоцина, не только стимулирующего выделение молока при лактации, но и содействующего дифференцировке кардиомиоцитов при эмбриональном развитии, улучшая регенерацию мышц [23].

Повышение экспрессии протеинкиназы В (ген AKTI) под воздействием ДХИ важно для регулирования метаболизма, деления и выживания клеток, роста тканей и ангиогенеза. АКТ1 регулирует всасывание глюкозы, опосредуя индуцированную инсулином транслокацию транспортера глюкозы SLC2A4/GLUT4 на клеточную мембрану, регулирует хранение глюкозы в форме гликогена путем фосфорилирования киназ гликогенсинтетазы GSK3A и GSK3B.

Проведенный анализ позволил сформулировать еще один механизм синергизма между инозитолами

и фолатами в профилактике ВПР. Так, ДХИ повышал экспрессию метилентетрагидрофолатредуктазы (ген MTHFR), трансформирующей 5,10-метилентетрагидрофолат в биологически активную форму 5-метилтетрагидрофолат для превращения гомоцистеина в метионин.

Антиоксидантные эффекты ДХИ могут быть связаны с повышением экспрессии гена гемоксигеназы-1 (HMOXI). Активность гемоксигеназы-1 наиболее высока в селезенке, где происходят секвестрация и разрушение стареющих эритроцитов. С нуклеотидными дефектами гена HMOXI ассоциированы нарушения кроветворения при стрессе, фрагментация эритроцитов, внутрисосудистый гемолиз, нарушения коагуляции, повреждения эндотелия и отложения железа в тканях почек и печени, задержка роста ребенка и гепатомегалия [24]. Можно предположить, что ДХИ способствует улучшению кроветворения и нормализации процессов роста тканей плода.

## Транскриптомный синергизм МИ и ДХИ в осуществлении нейропротекторного и нейротрофического действия инозитолов

Отметим, что описанный ниже потенциальный нейропротекторный и нейротрофический синергизм МИ и ДХИ, установленный в настоящем исследовании с использованием хемотранскриптомики клеток эндотелия вены пуповины, целесообразно подтвердить в соответствующих анализах нейрональных клеток-предшественников. Тем не менее известно, что инозитолы действительно проявляют выраженное нейропротекторное действие. Например, в модели глутаматного стресса на зернистых нейронах мозжечка МИ повышал выживание нейронов на +17%, что существенно выше эффектов других средств, которые обычно используются для нейропротекции (пептидные экстракты: +10%, холиновые препараты: +3%) [25]. Нейропротекторное действие инозитолов указывает на важность их использования с целью нейропротекции головного мозга плода во время беременности для профилактики пороков его развития. Нейропротекторное действие ДХИ также может осуществляться через повышение экспрессии рецептора ГАМК-А и потенциалзависимого калиевого канала «шейкер-1» (ген KCNA1), который предотвращает гипервозбудимость нейронов [26], рецептора-2 галанина (ген GALR2) и самого галанина (ген GAL) [27] и рецептора фактора роста нервов (ген NGFR) — рецептора, активируемого нейротрофинами NGF, BDNF, NT-3 и NT-4 [28].

Еще одним важным механизмом транскриптомного синергизма МИ и ДХИ является повышение экспрессии генов, вовлеченных в сигнальный каскад Wnt/AKT1/GSK3B/mTOR, играющий важнейшую роль в выживании нейрональных клетокпредшественников, позиционировании нейронов, формировании цитоархитектоники коры, развитии дендритов и образовании синапсов [29]. Уточнение нейропротекторных и нейротрофических эффектов ДХИ требует проведения отдельного хемотранскриптомного исследования на нейроцитах.

### Транскриптомный синергизм МИ и ДХИ в поддержании структуры и функции сосудов

Ранние потери беременности и поздние гестационные осложнения беременности зачастую связаны с эндотелиальной дисфункцией и тромбофилией. Эндотелий, являясь комплексным регулятором сосудистой функции, влияет на все три компонента триады Вирхова (повреждение сосудистой стенки, гиперкоагуляция, вазоконстрикция). ДХИ, по сравнению с МИ, существенно повышал экспрессию противовоспалительной простациклинсинтетазы (ген PTGIS) и антикоагулянтных плазминогена и тромбомодулина. Плазминоген (ген PLG) растворяет фибрин тромбов и действует как протеолитический фактор при эмбриональном развитии, также расщепляя фибрин, тромбоспондин и фактор фон Виллебранда [30]. Тромбомодулин (ген ТНВД) рецептор эндотелиальных клеток, образующий комплекс с тромбином и активирующий протеин С, который расщепляет прокоагулянтные факторы Va и VIIIa, тем самым уменьшая количество активированного тромбина [31].

Кроме того, ДХИ способствовал снижению экспрессии генов, связанных с обменом железа и вазоконстрикцией. ДХИ снижал экспрессию гена НАМР, кодирующего гепсидин – негативный гормон-регулятор всасывания железа в тканях, который стимулирует эндоцитоз и деградацию ферропортина. Последнее приводит к распаду ферропортина в лизосомах, к задержке железа в экспортирующих железо клетках и к снижению поступления железа в плазму крови. В энтероцитах гепсидин предотвращает поступление железа в портальную систему печени, тем самым снижая всасывание железа с пищей, поэтому избыточная активность гепсидина может приводить к железодефицитной анемии. С нуклеотидными дефектами гена НАМР ассоциирован гемохроматоз [32]. Таким образом, ДХИ участвует в усвоении железа и может способствовать профилактике железодефицитной анемии.

ДХИ способствует снижению экспрессии генов провоспалительного белка S100A8 и вазоконстриктора эндотелина-1. *Белок S100A8*, связывающий кальиий (ген S100A8), активирует воспалительные процессы, индуцируя хемотаксис и адгезию нейтрофилов. Внутриклеточные функции включают перенос и метаболизм арахидоновой кислоты лейкоцитами, активацию нейтрофильной НАДФН-оксидазы. Внеклеточные функции включают активацию лейкоцитов, стимулирование продукции цитокинов и хемокинов, регуляцию адгезии и миграции лейкоцитов, активацию толл-рецепторов TLR4 и рецепторов конечных продуктов усиленного гликирования AGER, активацию сигнальных путей NF-kB. S100A8 может вызывать гибель клеток посредством аутофагии и апоптоза через генерацию активных форм кислорода [33].

Эндотелин-1 (ген EDN1) — вазоконстрикторный пептид эндотелиального происхождения. Также активность эндотелина важна для морфогенеза. С дефектами гена EDN1 ассоциирована аномалия строения ушей, характеризующаяся расщелиной между мочкой и нижней частью завитка, иногда

сопровождающаяся выступающей или недостаточно выраженной верхней частью завитка, синдромом черепно-лицевой мальформации, в т.ч. аномалиями строения нижней челюсти, анкилозом височнонижнечелюстного сустава, расщелиной неба [34].

Таким образом, хемотранскриптомный анализ МИ и ДХИ указал на характерные изменения транскрипции генов, способствующих нормализации обмена жиров, углеводного обмена, работы щитовидной железы, дифференцировки и выживания клеток, нейропротекции и нейротрофичности, структуры и функции сосудов. Проведенный анализ также позволил выделить механизмы «транскриптомного» синергизма МИ и ДХИ.

### Заключение

Исследование транскриптомных эффектов фармакологически значимых молекул представляет собой «передовой фронт» современной молекулярной фармакологии. Транскриптомные исследования позволяют установить механизмы действия молекул и детально очертить спектр нарушений, на которые может благоприятно воздействовать исследуемая молекула. Поэтому в постгеномной фармакологии учитывается воздействие веществ не только на таргетные белки, но и на транскрипцию генов.

Настоящее исследование позволило получить значительный массив феноменологических данных о влиянии МИ и ДХИ на транскрипцию. Исследование показало, что комбинированное применение МИ и ДХИ важно для тонкой настройки процессов генной транскрипции. В частности, были выделены группы генов, вовлеченных в осуществление транскриптомного синергизма между МИ и ДХИ в обмене жиров и углеводов, поддержке функции щитовидной железы, морфогенезе плода, нейропротекторных, нейротрофических, ангиопротекторных эффектах. Полученные результаты позволяют ожидать, что нутрицевтическая поддержка беременных с инсулинорезистентностью, дислипидемией, избыточной массой тела будет более эффективной именно при совместном использовании дотаций МИ и ДХИ. Такие дотации, как правило, осуществляются посредством приема средств с определенным соотношением МИ и ДХИ.

В целом, проведенный анализ указывает на перспективы сочетанного применения МИ и ДХИ для нутрицевтической поддержки беременных, в т.ч. для снижения риска инсулинорезистентности и связанных с ней осложнений, макросомии и аномалий развития плода.

### **Литература/References**

Громова О.А., Торшин И.Ю., Тетруашвили Н.К. Роли мио-инозитола в поддержании репродуктивного здоровья женщины. Повышение эффективности технологий экстракорпорального оплодотворения. РМЖ. Мать и дитя. 2018; 1: 88-95. [Gromova O.A., Torshin I.Yu., Tetruashvili N.K. The role of myo-inositol in maintaining women's reproductive health. Improving the efficiency of in vitro fertilization technologies. Russian Medical Journal. Mother and Child. 2018; 1: 88-95. (in Russian)]. https://dx.doi.org/10.32364/2618-8430-2018-1-1-88-95.

- Rapiejko P.J., Northup J.K., Evans T., Brown J.E., Malbon C.C. G-proteins of fat-cells. Role in hormonal regulation of intracellular inositol 1,4,5-trisphosphate. Biochem. J. 1986; 240(1): 35-40. https://dx.doi.org/10.1042/ bi2400035.
- Salihu H.M., Dongarwar D., King L.M., Yusuf K.K., Ibrahimi S., Salinas-Miranda A.A. Phenotypes of fetal macrosomia and risk of stillbirth among term deliveries over the previous four decades. Birth. 2020; 47(2): 202-10. https://dx.doi.org/10.1111/birt.12479.
- Ляличкина Н.А., Макарова Т.В., Салямова Л.Ш. Макросомия плода. Акушерские и перинатальные исходы. Современные проблемы науки и образования. 2016; 3; 71. (Электронный научный журнал). Доступно по: http://www.science-education.ru/ru/article/view?id=24572 [Lyalichkina N.A., Makarova T.V., Salyamova L.Sh. Macrosomia of the fetus. obstetric and perinatal outcomes. Modern problems of science and education. 2016; 3 (electronic scientific journal). Available at: http://www.science-education.ru/ru/article/view?id=24572 (in Russian)].
- Громова О.А., Торшин И.Ю., Уварова Е.В., Тапильская Н.И., Калачева А.Г.
  Систематический анализ биологических ролей и фармакологических
  свойств D-хироинозитола. Гинекология. 2020; 22(3): 21-8. [Gromova O.A.,
  Torshin I.Yu., Uvarova E.V., Tapilskaya N.I., Kalacheva A.G. Systematic
  analysis of the biological roles and pharmacological properties of D-chiroinositol.
  Gynecology. 2020; 22(3): 21-8. (in Russian)]. https://dx.doi.org/10.26442/
  20795696.2020.3.200210.
- 6. Торшин И.Ю., Майорова Л.А., Уварова Е.В., Тапильская Н.И., Громова О.А. Хемореактомный анализ стереоизомеров инозитола: различные профили фармакологического действия мио-инозитола и D-хиро-инозитола при нарушениях женской репродуктивной системы. Вопросы гинекологии, акушерства и перинатологии. 2020; 19(5): 57-69. [Torshin I.Yu., Mayorova L.A., Uvarova E.V., Tapilskaya N.I., Gromova O.A. Chemoreactome analysis of stereoisomers of inositol: different profiles of the pharmacological action of myo-inositol and D-chiro-inositol in disorders of the female reproductive system. Issues of gynecology, obstetrics and perinatology. 2020; 19(5): 57-69. (in Russian)]. https://dx.doi.org/10.20953/1726-1678-2020-5-57-69.
- Torshin I.Yu. Sensing the change: from molecular genetics to personalized medicine. Bioinformatics in the post-genomic era: the role of biophysics. New York: Nova Biomedical Books, cop. 2009.
- Torshin I.Y., Rudakov K.V. On the application of the combinatorial theory
  of solvability to the analysis of chemographs: part 2. local completeness of
  invariants of chemographs in view of the combinatorial theory of solvability.
  Pattern Recognition and Image Analysis. 2014; 24(2): 196-208.
- Торшин И.Ю., Громова О.А., Стаховская Л.В., Семенов В.А., Щукин И.А. Хемотранскриптомный анализ указывает на нейротрофические и нейромодулирующие эффекты молекулы цитиколина. Неврология, нейропсихиатрия, психосоматика. 2020; 12(4): 91-9. [Torshin I.Yu., Gromova O.A., Stakhovskaya L.V., Semenov V.A., Shchukin I.A. Chemotranscriptome analysis indicates the neurotrophic and neuromodulator effects of a citicoline molecule. Neurology, Neuropsychiatry, Psychosomatics. 2020; 12(4): 91-9. (in Russian)]. https://dx.doi.org/10.14412/2074-2711-2020-4-91-99.
- Ториши И.Ю., Громова О.А., Сардарян И.С., Федотова Л.Э. Сравнительный хемореактомный анализ мексидола. Журнал неврологии и психиатрии им. С.С. Корсакова. 2017; 117(1-2): 75-84. [Torshin I.Y., Gromova O.A., Sardaryan I.S., Fedotova L.E. Sravnitel'nyĭ khemoreaktomnyĭ analiz meksidola [A comparative chemoreactome analysis of mexidol]. Journal of Neurology and Psychiatry named after S.S. Korsakov. 2017; 117(1-2): 75-83. (in Russian)]. https://dx.doi.org/10.17116/jnevro20171171275-84.
- Marduel M., Ouguerram K., Serre V., Bonnefont-Rousselot D., Varret M.
   Description of a large family with autosomal dominant hypercholesterolemia
   associated with the APOE p.Leu167del mutation. Hum. Mutat. 2013; 34(1):
   83-7. https://dx.doi.org/10.1002/humu.22215.
- Westerterp M., Berbee J.F., Rensen P.C. Apolipoprotein C-I binds free fatty acids and reduces their intracellular esterification. J. Lipid Res. 2007; 48(6): 1353-61. https://dx.doi.org/10.1194/jlr.M700024-JLR200.

- Nichols W.C., Dwulet F.E., Liepnieks J., Benson M.D. Variant apolipoprotein AI as a major constituent of a human hereditary amyloid. Biochem. Biophys. Res. Commun. 1988; 156(2): 762-8. https://dx.doi.org/10.1016/s0006-291x(88)80909-4.
- 14. Тапильская Н.И., Сажина И.Н., Андреева М.Д., Сорокина О.В. Эффективность применения комбинации миоинозитола и D-хироинозитола в соотношении 5:1 с марганцем и фолиевой кислотой у пациенток репродуктивного возраста с нерегулярным менструальным циклом и ожирением. Гинекология. 2022; 24(2): 101-7. [Tapilskaya N.I., Sazhina I.N., Andreeva M.D., Sorokina O.V. The effectiveness of the combination of myoinositol and D-chiroinositol in a 5:1 ratio with manganese and folic acid in patients of reproductive age with irregular menstrual cycles and obesity. Gynecology. 2022; 24(2): 101-7. (in Russian)].
- 15. Обоскалова Т.А., Воронцова А.В., Звычайный М.А., Гущина К.Г., Майтесян М.М. Результаты применения комбинации миоинозитола и D-хироинозитола в соотношении 5:1 у женщин с синдромом поликистозных яичников. Гинекология. 2020; 22(6): 84-9. [Oboskalova T.A., Vorontsova A.V., Zvychainyi M.A., Gushchina K.G., Maitesian M.M. Results of treatment with myo-Inositol and D-chiroinositol combination in ratio 5:1 in women with polycystic ovary syndrome. Gynecology. 2020; 22(6): 84-9. (in Russian)]. https://dx.doi.org/10.26442/20795696.2020.6.200548.
- Bonnet S., Archer S.L., Michelakis E.D. A mitochondria-K+ channel axis is suppressed in cancer and its normalization promotes apoptosis and inhibits cancer growth. Cancer Cell. 2007; 11(1): 37-51. https://dx.doi.org/10.1016/ j.ccr.2006.10.020.
- Deyev I.E., Sohet F., Vassilenko K.P., Petrenko A.G. Insulin receptor-related receptor as an extracellular alkali sensor. Cell Metab. 2011; 13(6): 679-89. https://dx.doi.org/10.1016/j.cmet.2011.03.022.
- Edens W.A., Sharling L., Cheng G., Lambeth J.D. Tyrosine cross-linking of extracellular matrix is catalyzed by Duox, a multidomain oxidase/peroxidase with homology to the phagocyte oxidase subunit gp91phox. J. Cell Biol. 2001; 154(4): 879-91. https://dx.doi.org/10.1083/jcb.200103132.
- Cha J.Y., Maddileti S., Mitin N., Harden T.K., Der C.J. Aberrant receptor internalization and enhanced FRS2-dependent signaling contribute to the transforming activity of the fibroblast growth factor receptor 2 IIIb C3 isoform. J. Biol. Chem. 2009; 284(10): 6227-40. https://dx.doi.org/10.1074/ ibc.M803998200.
- Citores L., Bai L., Sorensen V., Olsnes S. Fibroblast growth factor receptorinduced phosphorylation of STAT1 at the Golgi apparatus without translocation to the nucleus. J. Cell. Physiol. 2007; 212(1): 148-56. https://dx.doi.org/10.1002/ jcp.21014.
- Plotnikov A.N., Hubbard S.R., Schlessinger J., Mohammadi M. Crystal structures of two FGF-FGFR complexes reveal the determinants of ligandreceptor specificity. Cell. 2000; 101(4): 413-24. https://dx.doi.org/10.1016/ s0092-8674(00)80851-x.
- Tolbert W.D., Daugherty-Holtrop J., Gherardi E., Vande Woude G., Xu H.E.
   Structural basis for agonism and antagonism of hepatocyte growth factor. Proc. Natl. Acad. Sci. USA. 2010; 107(30): 13264-9. https://dx.doi.org/10.1073/pnas.1005183107.
- Elabd C., Cousin W., Upadhyayula P., Chen R.Y., Chooljian M.S., Li J. et al. Oxytocin is an age-specific circulating hormone that is necessary for muscle maintenance and regeneration. Nat. Commun. 2014; 5: 4082. https://dx.doi.org/10.1038/ncomms5082.
- Yachie A., Niida Y., Wada T., Igarashi N., Kaneda H., Toma T. et al. Oxidative stress causes enhanced endothelial cell injury in human heme oxygenase-1 deficiency. J. Clin. Invest. 1999; 103(1): 129-35. https://dx.doi.org/10.1172/ JCI4165.
- 25. Калачева А.Г., Торшин И.Ю., Стельмашук Е.В., Генрихс Е.Е., Александрова О.П., Хаспеков Л.Г., Громова О.А. Нейропротекторное действие миоинозитола на клеточной модели глутаматного стресса как основа для профилактики нарушений внутриутробного развития головного мозга. Фармакокинетика и фармакодинамика. 2018; 3: 9-20. [Kalacheva A.G., Torshin I.Yu., Stelmashuk E.V., Genrikhs E.E., Aleksandrova O.P.,

- Khaspekov L.G., Gromova O.A. Neuroprotective effect of myoinositol on the cellular model of glutamate stress as a basis for the prevention of intrauterine brain development disorders. Pharmacokinetics and Pharmacodynamics. 2018; 3: 9-20. (in Russian)]. https://dx.doi.org/10.24411/2587-7836-2018-10018.
- Zuberi S.M., Eunson L.H., Hanna M.G. A novel mutation in the human voltage-gated potassium channel gene (Kv1.1) associates with episodic ataxia type 1 and sometimes with partial epilepsy. Brain. 1999; 122(Pt 5): 817-25. https://dx.doi.org/10.1093/brain/122.5.817.
- McKnight G.L., Karlsen A.E., Kowalyk S., Mathewes S.L., Sheppard P.O., O'Hara P.J., Taborsky G.J. Jr. Sequence of human galanin and its inhibition of glucose-stimulated insulin secretion from RIN cells. Diabetes. 1992; 41(1): 82-7. https://dx.doi.org/10.2337/diab.41.1.82.
- Mi S., Lee X., Shao Z., Thill G., Ji B., Relton J. et al. LINGO-1 is a component of the Nogo-66 receptor/p75 signaling complex. Nat. Neurosci. 2004; 7(3): 221-8. https://dx.doi.org/10.1038/nn1188.
- Shimizu S., Matsuzaki S., Hattori T., Kumamoto N., Miyoshi K., Katayama T., Tohyama M. DISC1-kendrin interaction is involved in centrosomal microtubule network formation. Biochem. Biophys. Res. Commun. 2008; 377(4): 1051-6. https://dx.doi.org/10.1016/j.bbrc.2008.10.100.
- Rossignol P., Ho-Tin-Noe B., Vranckx R., Bouton M.C., Meilhac O.,
   Lijnen H.R. et al. Protease nexin-1 inhibits plasminogen activation-induced

- apoptosis of adherent cells. J. Biol. Chem. 2004; 279(11): 10346-56. https://dx.doi.org/10.1074/jbc.M310964200.
- Delvaeye M., Noris M., De Vriese A., Conway E.M. Thrombomodulin mutations in atypical hemolytic-uremic syndrome. N. Engl. J. Med. 2009; 361(4): 345-57. https://dx.doi.org/10.1056/NEJMoa0810739.
- Merryweather-Clarke A.T., Cadet E., Bomford A., Robson K.J. Digenic inheritance of mutations in HAMP and HFE results in different types of haemochromatosis. Hum. Mol. Genet. 2003; 12(17): 2241-7. https://dx.doi.org/10.1093/hmg/ ddg225.
- Ghavami S., Eshragi M., Ande S.R., Chazin W.J., Klonisch T., Halayko A.J. et al. S100A8/A9 induces autophagy and apoptosis via ROS-mediated cross-talk between mitochondria and lysosomes that involves BNIP3. Cell Res. 2010; 20(3): 314-31. https://dx.doi.org/10.1038/cr.2009.129.
- Gordon C.T., Petit F., Kroisel P.M., Jakobsen L., Amiel J. Mutations in endothelin 1 cause recessive auriculocondylar syndrome and dominant isolated question-mark ears. Am. J. Hum. Genet. 2013; 93(6): 1118-25. https://dx.doi.org/10.1016/j.ajhg.2013.10.023.

Поступила 07.08.2022 Принята в печать 11.09.2022 Received 07.08.2022 Accepted 11.09.2022

#### Сведения об авторах:

Торшин Иван Юрьевич, к.ф.-м.н., с.н.с. Института фармакоинформатики, ФИЦ ИУ РАН, Москва, Россия; ЦХАБД НОЦ ЦЭ МГУ им. М.В. Ломоносова, Москва, Россия, https://orcid.org/0000-0002-2659-7998, 119333, Россия, Москва, ул. Вавилова, д. 42.

Громова Ольга Алексеевна, д.м.н., профессор, в.н.с., научный руководитель Института фармакоинформатики, ФИЦ ИУ РАН, Москва, Россия; ЦХАБД НОЦ ЦЭ МГУ им. М.В. Ломоносова, Москва, Россия, unesco.gromova@gmail.com, https://orcid.org/0000-0002-7663-710X, 119333, Россия, Москва, ул. Вавилова, д. 42. Тетруашвили Нана Картлосовна, д.м.н., заведующая 2-м отделением акушерским патологии беременности, ФГБУ НМИЦ АГиП им. академика В.И. Кулакова Минздрава России, n\_tetruashvili@oparina4.ru, 117997, Россия, Москва, ул. Академика Опарина, д. 4. Автор, ответственный за переписку: Ольга Алексеевна Громова, unesco.gromova@gmail.com

#### **Authors' information:**

Ivan Yu. Torshin, PhD in Applied Mathematics, Institute of Pharmacoinformatics, Senior Researcher at the Department of Intellectual Systems, Federal Research Center "Computer Science and Control" of Russian Academy of Sciences, https://orcid.org/0000-0002-2659-7998, 119333, Russia, Moscow, Vavilova str., 42.

Olga A. Gromova, Dr. Med. Sci., Professor, Science Head of the Institute of Pharmacoinformatics, Leading Researcher at the Department of Intellectual Systems, Federal Research Center "Computer Science and Control" of Russian Academy of Sciences, unesco.gromova@gmail.com, https://orcid.org/0000-0002-7663-710X, 119333, Russia, Moscow, Vavilova str., 42.

Nana K. Tetruashvili, Dr. Med. Sci., Head of the 2nd Obstetrics Department of Pathology of Pregnancy, V.I. Kulakov NMRC for OG&P, Ministry of Health of Russia, n\_tetruashvili@oparina4.ru, 117997, Russia, Moscow, Ac. Oparina str., 4.

Corresponding author: Olga A. Gromova, unesco.gromova@gmail.com

